

ジャイロ運動論的シミュレーションコードGKVを用いた微視的不安定性・乱流輸送解析

前山伸也

名大理

GKV講習会
2016年12月16日

Contents

- GKVのコード構造
- 数値パラメータ、物理パラメータ、計算機環境の設定
- コンパイルおよび実行
- 出力データ構造
- ポスト処理
- まとめ

以下、**ユーザに編集してもらう点は青字**、**注意点は赤字**で示します。

実習のための下準備

始めに /tmp/GKV_tutorial/gkvp_f0.48.tar.gz をホームディレクトリにコピー。

```
cp -r /tmp/GKV_tutorial/ ./
```

ソースコード・平衡データを展開して、サンプル平衡データを所定の場所にコピー。

```
cd GKV_tutorial/
```

```
tar xzvf gkvp_f0.48.tar.gz
```

```
tar xzvf equilibrium_sample.tar.gz
```

```
cp -r equilibrium_sample/igs_sample_nss21ntheta33/ gkvp_f0.48/run/input_eqdsk/
```

プラズマシミュレータでFFTWを有効化する。

```
module load fftw-fx
```

プラズマシミュレータでgnuplot5.0を有効化するために、**~/.cshrc の末尾にエイリアスを追加。**

```
alias gnuplot /usr/local/gnuplot/5.0.1/bin/gnuplot
```

※ユーザのシェル環境に依存すると思うので適宜対応。

GKVのコード構造(バージョンgkvp_f0.48)

gkvp_f0.48/

README_for_namelist.txt 簡単な説明書き

Version_memo.txt 最近の更新履歴

src/ ソースファイル群

gkvp_f0.48_header.f90 解像度、MPIの設定モジュール

gkvp_f0.48_out.f90 標準データ出力モジュール

lib/ 乱数・ベッセル関数ライブラリ呼び出しモジュール

extra_tools/ ポスト処理ツール等

fig_stdout.tar.gz アスキーデータのPDF化

v29diag.tar.gz バイナリデータの解析

run/ コンパイルおよび計算実行

gkvp_f0.48_namelist 物理パラメータの設定

sub.q バッチジョブ用スクリプト(計算機依存)

shoot ジョブ投入スクリプト(計算機依存)

Makefile コンパイル情報(計算機依存)

backup/ 各計算機向けsub.q,shoot,Makefileのバックアップ

input_vmec/ VMEC平衡サンプル

input_eqdsk/ EQDSK平衡サンプル

GKVで扱える問題

ある平衡の下で、微視的不安定性や乱流揺動、粒子・熱輸送の局所解析。

1. 線形解析

- 線形モードの成長率、実周波数、揺動間のクロスフェーズなどを調べる。
- 線形モードの独立性から、特定の波数のみ解析するため計算は早い。
- 非線形飽和機構が入っていないので、振幅の絶対値は求まらない。

2. 非線形解析

- 揺動スペクトル、粒子・熱輸送、その他諸々の乱流揺動解析を行う。
- 乱流混合を扱うために多数のモード間の非線形結合を解く必要があり、計算に時間がかかる。要求解像度も問題に依るので、数値的健全性確保のためにエントロピーバランスやスペクトルの収束性確認が必要。

今日の実習の問題設定

実験の密度・温度・磁場計測などから、解析したいプラズマの平衡分布が求まっている (EQDSK形式)。この平衡下で微視的不安定性が存在するか線形解析したい。

0. 解析する半径位置を決めて、実験的な物理パラメータをGKVの入力パラメータに換算し、run/gkvp_f0.48_namelistに入力する。また、GKVで読み込めるように加工したMHD平衡データを用意する。
1. src/gkvp_f0.48_header.f90に計算格子数およびMPI並列数を入力する。
2. バッチジョブスクリプトsub.qを設定する。
3. ジョブ投入スクリプトshootにディレクトリの設定をする。
4. コンパイルし、計算を実行。
5. 出力データを解析する。(ポスト処理ツールの利用)

※非線形解析も計算タイプ”nonlinear”とし高解像度化する位で同様の手順。

0. 実験→GKV換算、namelistへの入力、平衡の加工

実験計測より、

- 局所パラメータを算出
- MHD平衡を構築

GKVで解析するため、

- 実験→GKVパラメータ換算(規格化)
- 対応する物理パラメータのnamelistへの入力
- MHD平衡からGKVで必要となるメトリックデータへの加工

先の仲田さんの説明でできるようになったはずなので、今日の実習では既に用意済み。

run/gkvp_f0.48_namelist

物理パラメータのnamelist

run/input_eqdsk/METRIC_axi.OUT

EQDSKから構築したメトリックデータ

0. 実験→GKV換算、namelistへの入力、平衡の加工

run/gkvp_f0.48_namelist

念のため計算実行にかかわる部分だけおさらいすると、

&calct **calc_type="linear"**, 計算タイプ linear / nonlinear

z_bound="outflow",

z_filt="off",

z_calc="up5",

art_diff=0.d0,

num_triad_diag=0, &end

&triad mxt = 0, myt = 0/

&equib **equib_type = "eqdsk"**, &end 平衡磁場モデル analytic / s-alpha / vmec / eqdsk

...

&runlm **e_limit = 60.d0**, &end

計算実行の実時間[秒]

× **tend = 200.d0**,

シミュレーション上の上限時間

dtout_fxv = 1.d0,

データ出力の時間間隔1

dtout_ptn = 0.1d0,

データ出力の時間間隔2

dtout_eng = 0.1d0,

データ出力の時間間隔3

dtout_dtc = 0.01d0, &end

自動時間刻み幅の調整間隔

...

0. 実験→GKV換算、namelistへの入力、平衡の加工

run/gkvp_f0.48_namelist

...

```
&nperi n_tht = 4,  
      kymin = 0.1d0,  
      m_j = 1,  
      del_c = 0.d0, &end
```

磁力線方向ボックスサイズ (ポロイダル角で $\pm n_tht * \pi$)

磁力線ラベル方向ボックスサイズ $ly = \pi / kymin$

半径方向ボックスサイズ $lx = \pi / kxmin$

$kxmin = |2 * \pi * s_hat * kymin / m_j|$

...

```
&igsp s_input = 0.50,  
      mc_type = 0,  
      q_type = 1,  
      nss = 21,  
      ntheta = 33, &end
```

✘ $nss = NPSI$ (in IGS)

✘ $ntheta = NCHI$ (in IGS) + 1 = $2 * global_nz / n_tht + 1$

...

1.src/gkvp_f0.48_header.f90に計算格子数およびMPI並列数を入力する。

```
!-----  
! Dimension size (grid numbers)  
!-----  
! Global simulation domain  
! in x, y,z,v,m (0:2*nxw-1, 0:2*nyw-1,-global_nz:global_nz-1,1:2*global_nv,0:global_nm)  
! in kx,ky,z,v,m ( -nx:nx,0:global_ny,-global_nz:global_nz-1,1:2*global_nv,0:global_nm)
```

src/gkvp_f0.48_header.f90

integer, parameter :: **nxw = 2, nyw = 8**

integer, parameter :: **nx = 0, global_ny = 5** ! 2/3 de-aliasing rule

integer, parameter :: **global_nz = 64, global_nv = 24, global_nm = 15**

integer, parameter :: nzb = 3, & ! the number of ghost grids in z

nvb = 3 ! the number of ghost grids in v and m

```
!-----  
! Data distribution for MPI  
!-----
```

integer, parameter :: **nprocw = 1, nprocz = 4, nprocv = 2, nprocm = 2, nprocs = 2**

1.src/gkvp_f0.48_header.f90に計算格子数およびMPI並列数を入力する。

ここで、

nx		kxモード数	- nx:nx
global_ny		kyモード数	0:global_ny
(さらにnxw>nx*3/2, nyw>global_ny*3/2となるように設定。)			
global_nz		磁力線方向座標	-n_tht*pi < zz < n_tht*pi を -global_nz:global_nz-1で離散化
global_nv		磁力線方向速度	-vmax<vl<vmaxを1:2*global_nvで離散化
global_nm		磁気モーメント	0<mu<vmax^2/2を0:global_nmで離散化

nprocw, nprocz, nprocv, nprocm, nprocs はky,zz,vl,mu方向および粒子種のMPI領域分割数。

ただし、

※(global_ny+1)/nprocw, global_nz/nprocz,
global_nv/nprocv, (global_nm+1)/nprocmは整数。

※nprocsは扱う粒子種数と一致。

2. バッチジョブスクリプトsub.qを設定する。

run/sub.qでMPI/OpenMP並列数を指定する。

run/sub.q

```
#PJM -L "rscunit=fx"  
#PJM -L "rscgrp=X24"  
#PJM -L "node=8"  
#PJM -L "elapse=00:20:00"  
#PJM -j  
#PJM --mpi "proc=32"    ※総MPIプロセス数はnprocw*nprocz*nprocv*nprocm*nprocs  
#### --mpi "rank-map-hostfile=myrankmap"  
#PJM -g 16391
```

Note that Max. core num. per 1 node on PS is 32.

setenv PARALLEL 8 # Thread number for automatic parallelization

setenv OMP_NUM_THREADS 8 # Thread number for Open MP

※プラズマシミュレータでは $\text{proc} * \text{OMP_NUM_THREADS} = \text{node} * 32$ とする。

以下は不変。

3. ジョブ投入スクリプトshootにディレクトリを設定をする。

run/shoot

```
#### Environment setting
```

```
set DIR=/data/ing/maeyama/gkv_training/ 実行後のデータが出力されるディレクトリ  
set LDM=gkvp_mpifft.exe ※maeyama→個別のユーザ名に書き換えてください。
```

```
set NL=gkvp_f0.48_namelist
```

```
set SC=pjsub
```

```
set JS=sub.q
```

```
## For VMEC, set VMCDIR including metric_boozer.bin.dat
```

```
#set VMCDIR=./input_vmec
```

```
## For IGS, set IGSDIR including METRIC_{axi,boz,ham}.OUT
```

```
set IGSDIR=./input_eqdsk
```

IGSで生成したMETRIC_{axi,boz,ham}.OUTが置いてあるディレクトリ

以下は不変。

4. コンパイルし、計算を実行

コンパイルする。

```
cd run/  
module purge  
module load tcsuite-fx fftw-fx  
make clean  
make
```

計算を実行する。以下の形式でステップジョブ実行される。

```
./shoot START_NUM END_NUM (JOB_ID)
```

```
例) シングルジョブ投入 (*.001)      ./shoot 1 1  
     シングルジョブ投入 (*.002)      ./shoot 2 2  
     ステップジョブ投入 (*.003-*.005) ./shoot 3 5  
     継続ステップジョブ投入          ./shoot 6 7 11223  
     (*.005まで計算するジョブJOB_ID=11223がキュー中にあり、  
     それに続けて*.006-*.007のジョブを実行させようとした。)
```

4. コンパイルし、計算を実行

正常に計算が実行されれば、run/shootで設定した出力ディレクトリ
(今回の例では `/data/lng/maeyama/gkv_training/`)
に以下のデータが書き出される。

log/ 計算ログ

cnt/ 継続計算用バイナリデータ

fxv/ 分布関数バイナリデータ(いくつかの磁力線方向座標位置で)

phi/ ポテンシャル、流体モーメント、エントロピーバランスに関するバイナリデータ

hst/ アスキー形式の標準出力

その他: 実行環境バックアップのためのコピー

Appendix A. GKVの出力データ一覧 にまとめた。

さらに詳細は、ソースコード `src/gkvp_f0.48_out.f90` を参照。

5. 出力データを解析する。(ポスト処理ツールの利用)

出力データを解析するには、

5-a) 自力で何とかする。

- GKVの出力データは一覧にまとめてあるので、後は適当にポスト処理する。
- アスキー形式の標準出力くらいなら簡単。
- MPI領域分割されたバイナリデータを読み込むのは結構手間。

コードのオープン化にあたり、ポスト処理ツールとして以下の2つを提供。

5-b) hst/のアスキー標準出力を一括でPDF化するためのスクリプト `fig_stdout`

5-c) phi/などのバイナリデータを解析するためのポスト処理プログラム `diag`

5-b) hst/のアスキー標準出力を一括でPDF化するためのスクリプト fig_stdout

extra_tools/fig_stdout.tar.gz をGKV出力データのあるディレクトリ(今回は /data/ln/maeyama/gkv_training/)に展開すると、

fig_stdout/

make_pdf.csh	PDF作成シェルスクリプト
pdf/	PDFが格納されるディレクトリ
eps/	PDF作成に用いられたepsが格納されるディレクトリ
data/	eps作成に用いられた元データが格納されるディレクトリ
src/	gnuplot用スクリプト等

ができるので、以下のコマンド

```
cd fig_stdout/
```

```
./make_pdf.csh clean
```

```
./make_pdf.csh
```

を実行すると、一覧のPDF(fig_stdout/pdf/fig.pdf)やeps、元データが格納される。
(※必ずしも図のスケール等が見やすいとは限らない。)

5-c) phi/などのバイナリデータを解析するためのポスト処理プログラム diag

extra_tools/v29diag.tar.gz を適当な場所に展開すると、

v29diag/

Makefile

go.diag_ps_fx バッチジョブ用スクリプト

backup/

plotfile/ gnuplot用スクリプトのサンプル

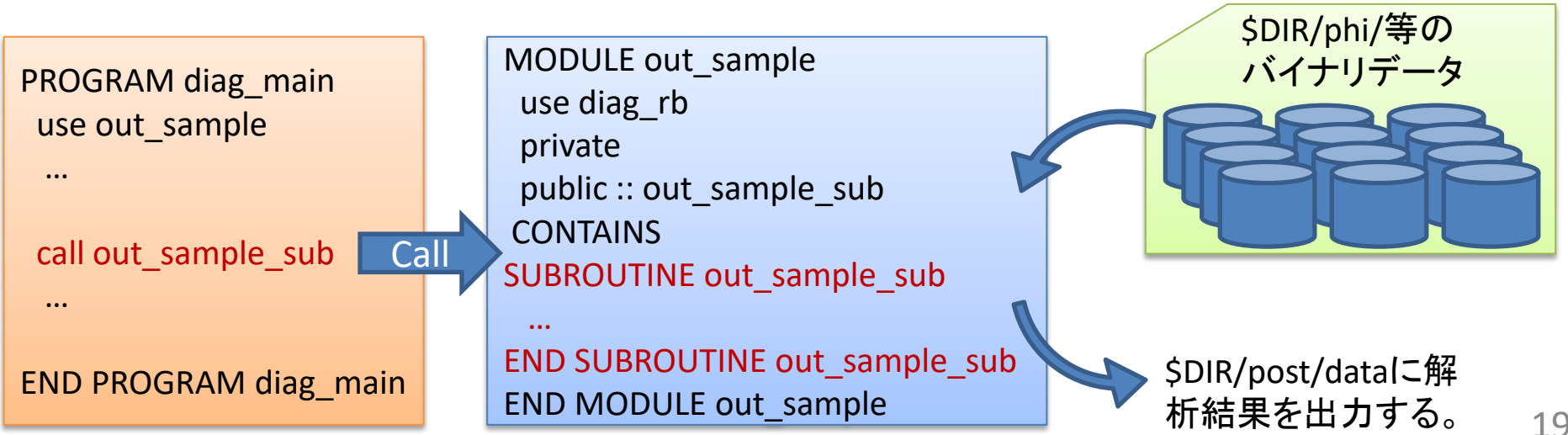
src/ ソースコード

diag_header.f90	解像度等の設定
diag_main.f90	解析モジュールの呼び出し
diag_rb.f90	GKV出力バイナリデータ読み込みモジュール
diag_*****.f90	その他各種設定
...	
out_*****.f90	特定の図を描くための専用モジュール群
...	

5-c) phi/などのバイナリデータを解析するためのポスト処理プログラム diag

diagで何ができるのか。

- diag_rbモジュールを利用することで、MPI分割されたGKVの出力データから、「解析したい時間ステップの解析したい物理量」を読み込める。(Appendix Bも参照)
- 読み込まれた変数は、領域分割されていない変数として再構成されるので、GKVのMPI分割に習熟していないユーザでも比較的簡便に扱える。
- 何か解析したいと思ったときは、その解析を行うためのモジュールout_*****.f90を作成し、変数などは外から見えないようにする。主プログラムdiag_main.f90はモジュールを呼び出すだけなので、複数人が独立にモジュール作成しても競合しない。



5-c) phi/などのバイナリデータを解析するためのポスト処理プログラム diag

【diagの使い方】

1. v29diag/src/diag_header.f90で、!%%% DIAG parameters %%% と !%%% GKV parameters %%% 内のパラメータを設定する。
2. src/diag_main.f90で解析したいモジュールを呼び出す。
3. go.diagで、解析したいデータのあるディレクトリを DIR に設定する。
4. コンパイル。(make)
5. 実行。(pjsub go.diag_ps_fx)
6. $\${DIR}/post$ 下にポスト処理されたデータが書き出される。

解析例① あるモードk の静電ポテンシャルの磁力線方向z分布

解析例② 静電ポテンシャルのx,y平面分布(悪い曲率領域 $z=0$ での断面図)

まとめ

GKVの利用方法をハンズオン形式で説明した。

要約

GKVの物理モデル・数値モデル
を踏まえた上で、

実験→GKVパラメータ換算

MHD平衡データの加工

の準備をしてから、

src/gkvp_f0.48_header.f90

run/gkvp_f0.48_namelist

run/sub.q

run/shoot

の後にコンパイル、実行。

hst/のアスキー標準出力を一括でPDF化するためのスクリプト `fig_stdout`

phi/などのバイナリデータを解析するためのポスト処理プログラム `diag`

などを利用して、結果を解析する。

→ 渡邊資料

→ 仲田資料

解像度、MPIの設定

物理・数値パラメータの設定

MPI・OpenMPの設定

平衡データ・出力ディレクトリの設定

Appendix A. GKVの出力データ一覧

cnt/*cnt*

fxv/*fxv*

phi/*phi*, *Al*, *mom*, *trn*, (非線形の場合のみ *tri*)

hst/*bln*, *ges*, *gem*, *qes*, *qem*, *wes*, *wem*,

eng, *men*, *dte*, *mtr*, (線形の場合のみ *frq*, *dsp*)

log/*log*

cnt/gkvp_f0.47.(MPIランク6桁).cnt.(ラン数3桁)

- ファイル形式: バイナリ
- 出力間隔: ランの終了時
- 出力を行うMPIランク: すべて
- 総ファイル数: $nprocw * nprocz * nprocv * nprocm * nprocs * (\text{総ラン数})$
- GKVコード中の出力ユニット: ocnt
- 格納データ:
time, ff(-nx:nx,0:ny,-nz:nz-1,1:2*nv,0:nm)

ここで、

time: 時刻(倍精度実数)

ff: 揺動ジャイロ中心分布関数(倍精度複素数)

fxv/gkvp_f0.47.(MPIランク6桁).(粒子種1桁).fxv.(ラン数3桁)

- ファイル形式: バイナリ
- 出力間隔: dtout_fxv
- 出力を行うMPIランク: すべて
- 総ファイル数: nprocw*nprocz*nprocv*nprocm*nprocs * (総ラン数)
- GKVコード中の出力ユニット: ofxv
- 格納データ:
time, ff(-nx:nx,0:ny,1:2*nv,0:nm)

ここで、

time: 時刻(倍精度実数)

ff: 揺動ジャイロ中心分布関数(倍精度複素数) at iz=-nz (z方向MPIランク rankzに依存して、書き出す磁力線方向位置は異なる。)

phi/gkvp_f0.47.(MPIランク6桁).0.phi.(ラン数3桁)

- ファイル形式: バイナリ
- 出力間隔: dtout_ptn
- 出力を行うMPIランク: ranks == 0 .and. vel_rank == 0
- 総ファイル数: nprocw*nprocz * (総ラン数)
- GKVコード中の出力ユニット: ophi
- 格納データ:
time, phi(-nx:nx,0:ny,-nz:nz-1)

ここで、

time: 時刻(倍精度実数)

phi: 揺動静電ポテンシャル(倍精度複素数)

phi/gkvp_f0.47.(MPIランク6桁).0.AI.(ラン数3桁)

- ファイル形式: バイナリ
- 出力間隔: dtout_ptn
- 出力を行うMPIランク: ranks == 0 .and. vel_rank == 0
- 総ファイル数: nprocw*nprocz * (総ラン数)
- GKVコード中の出力ユニット: oAI
- 格納データ:
time, AI(-nx:nx,0:ny,-nz:nz-1)

ここで、

time: 時刻(倍精度実数)

AI: 揺動ベクトルポテンシャル(倍精度複素数)

- ファイル形式: バイナリ
- 出力間隔: dtout_ptn
- 出力を行うMPIランク: vel_rank == 0
- 総ファイル数: nprocw*nprocz*nprocs * (総ラン数)
- GKVコード中の出力ユニット: omom
- 格納データ:
time, mom(-nx:nx,0:ny,-nz:nz-1,0:nmom-1)

ここで、

time: 時刻(倍精度実数)

mom: 揺動流体モーメント(倍精度複素数)

現状、nmom=6として以下の6つの流体量を順に出力。

$$\tilde{n}_{sk} = \int dv^3 J_{0sk} \tilde{f}_{sk}, \quad \tilde{u}_{\parallel sk} = \int dv^3 v_{\parallel} J_{0sk} \tilde{f}_{sk}, \quad \tilde{p}_{\parallel sk} = \int dv^3 \frac{v_{\parallel}^2}{2} J_{0sk} \tilde{f}_{sk},$$

$$\tilde{p}_{\perp sk} = \int dv^3 \mu B J_{0sk} \tilde{f}_{sk}, \quad \tilde{q}_{\parallel sk} = \int dv^3 v_{\parallel} \frac{v_{\parallel}^2}{2} J_{0sk} \tilde{f}_{sk}, \quad \tilde{q}_{\perp sk} = \int dv^3 v_{\parallel} \mu B J_{0sk} \tilde{f}_{sk}$$

phi/gkvp_f0.47.(MPIランク6桁).(粒子種1桁).trn.(ラン数3桁)

- ファイル形式: バイナリ
- 出力間隔: dtout_eng
- 出力を行うMPIランク: zsp_rank == 0 .and. vel_rank == 0
- 総ファイル数: nprocw*nprocs * (総ラン数)
- GKVコード中の出力ユニット: otrn
- 格納データ:

time, S_{sk} , W_{Ek} , W_{Mk} , R_{SEk} , R_{SMk} , I_{SEk} , I_{SMk} , D_{sk} , Γ_{SEk} , Γ_{SMk} , Q_{SEk} , Q_{SMk}

ここで、

time: 時刻(倍精度実数)

他はすべてサイズ(-nx:nx,0:ny)の倍精度実数配列で、左から順に、ジャイロ中心揺動エントロピー、静電揺動エネルギー(イオン分極項含む)、磁場揺動エネルギー、波粒子相互作用($W_E \rightarrow S_s$)、波粒子相互作用($W_M \rightarrow S_s$)、ExB流による非線形エントロピー伝達、磁場揺動による非線形エントロピー伝達、衝突散逸、ExB流による粒子輸送フラックス、磁場揺動による粒子輸送フラックス、ExB流によるエネルギー輸送フラックス、磁場揺動によるエネルギー輸送フラックス

phi/gkvp_f0.47.s(粒子種1桁)mx(mxt4桁)my(myt4桁).tri.(ラン数3桁)

- ファイル形式: バイナリ ※mxt,mytはnamelistで指定したもの。
- 出力間隔: dtout_ptn (calc_type=="nonlinear" .and. num_triad_diag>0)
- 出力を行うMPIランク: rank == 0
- 総ファイル数: nprocs * num_triad_diag * (総ラン数)
- GKVコード中の出力ユニット: otri
- 格納データ:

$$\text{time}, J_{SEk}^{p,q}, J_{SEp}^{q,k}, J_{SEq}^{k,p}, J_{SMk}^{p,q}, J_{SMp}^{q,k}, J_{SMq}^{k,p}$$

ここで、

time: 時刻(倍精度実数)

他はすべてサイズ(-nx:nx, -global_ny:global_ny)の倍精度実数配列で、モード $k=(mxt,myt)$ に固定して、 $p=(px,py)$ の関数として表したもの (q は $-k-p$ で求まる)。先の3つは、ExB流の非線形性による p,q から k へのエントロピー伝達とそのcyclicな入れ替え、後の3つは、磁場揺動の非線形性による p,q から k へのエントロピー伝達とそのcyclicな入れ替え。

hst/gkvp_f0.47.blIn.(粒子種1桁).(ラン数3桁)

- ファイル形式: アスキー
- 出力間隔: dtout_eng
- 出力を行うMPIランク: rank == 0
- 総ファイル数: nprocs * (総ラン数)
- GKVコード中の出力ユニット: oblIn
- 格納データ:

$$\text{time}, S_S, W_E, W_M, R_{SE}, R_{SM}, I_{SE}, I_{SM}, D_S, \frac{T_S \Gamma_{SE}}{L_{ps}}, \frac{T_S \Gamma_{SM}}{L_{ps}}, \frac{\Theta_{SE}}{L_{Ts}}, \frac{\Theta_{SM}}{L_{Ts}}$$

ここで、

time: 時刻(実数)

S_S から D_S まではサイズ(2)の実数配列(配列要素1,2はそれぞれ $ky \neq 0$ 成分と $ky = 0$ 成分)で、左から順に、ジャイロ中心揺動エントロピー、静電揺動エネルギー(イオン分極項含む)、磁場揺動エネルギー、波粒子相互作用($W_E \rightarrow S_S$)、波粒子相互作用($W_M \rightarrow S_S$)、ExB流による非線形エントロピー伝達、磁場揺動による非線形エントロピー伝達、衝突散逸。残り4つは実数で、エントロピーバランス方程式における、粒子輸送項(ExB流、磁場揺動)、エネルギー輸送項(ExB流、磁場揺動)

hst/gkvp_f0.47.ges.(粒子種1桁).(ラン数3桁)

- ファイル形式: アスキー
- 出力間隔: dtout_eng
- 出力を行うMPIランク: rank == 0
- 総ファイル数: nprocs * (総ラン数)
- GKVコード中の出力ユニット: oges
- 格納データ:
time, Γ_{SE} , Γ_{SEk_y} (0:global_ny)

ここで、

time: 時刻(実数)

Γ_{SE} : ExB流による粒子輸送フラックス(実数)

Γ_{SEk_y} : ExB流による粒子輸送フラックスのy方向波数スペクトル(実数配列)

hst/gkvp_f0.47.gem.(粒子種1桁).(ラン数3桁)

- ファイル形式: アスキー
- 出力間隔: dtout_eng
- 出力を行うMPIランク: rank == 0
- 総ファイル数: nprocs * (総ラン数)
- GKVコード中の出力ユニット: ogem
- 格納データ:
time, Γ_{SM} , Γ_{SMk_y} (0:global_ny)

ここで、

time: 時刻(実数)

Γ_{SM} : 磁場揺動による粒子輸送フラックス(実数)

Γ_{SMk_y} : 磁場揺動による粒子輸送フラックスのy方向波数スペクトル(実数配列)

hst/gkvp_f0.47.qes.(粒子種1桁).(ラン数3桁)

- ファイル形式: アスキー
- 出力間隔: dtout_eng
- 出力を行うMPIランク: rank == 0
- 総ファイル数: nprocs * (総ラン数)
- GKVコード中の出力ユニット: oqes
- 格納データ:
time, Q_{sE} , Q_{sEk_y} (0:global_ny)

ここで、

time: 時刻(実数)

Q_{sE} : ExB流によるエネルギー輸送フラックス(実数)

Q_{sEk_y} : ExB流によるエネルギー輸送フラックスのy方向波数スペクトル(実数配列)

hst/gkvp_f0.47.qem.(粒子種1桁).(ラン数3桁)

- ファイル形式: アスキー
- 出力間隔: dtout_eng
- 出力を行うMPIランク: rank == 0
- 総ファイル数: nprocs * (総ラン数)
- GKVコード中の出力ユニット: oqem
- 格納データ:
time, Q_{SM} , Q_{SMk_y} (0:global_ny)

ここで、

time: 時刻(実数)

Q_{SM} : 磁場揺動によるエネルギー輸送フラックス(実数)

Q_{SMk_y} : 磁場揺動によるエネルギー輸送フラックスのy方向波数スペクトル(実数配列)

hst/gkvp_f0.47.wes.(ラン数3桁)

- ファイル形式: アスキー
- 出力間隔: dtout_eng
- 出力を行うMPIランク: rankg == 0
- 総ファイル数: (総ラン数)
- GKVコード中の出力ユニット: owes
- 格納データ:
time, W_E , W_{Ek_y} (0: global_ny)

ここで、

time: 時刻(実数)

W_E : 静電揺動エネルギー(実数)

W_{Ek_y} : 静電揺動エネルギーのy方向波数スペクトル(実数配列)

hst/gkvp_f0.47.wem.(ラン数3桁)

- ファイル形式: アスキー
- 出力間隔: dtout_eng
- 出力を行うMPIランク: rankg == 0
- 総ファイル数: (総ラン数)
- GKVコード中の出力ユニット: owem
- 格納データ:
time, W_M , W_{Mk_y} (0: global_ny)

ここで、

time: 時刻(実数)

W_M : 磁場揺動エネルギー(実数)

W_{Mk_y} : 磁場揺動エネルギーのy方向波数スペクトル(実数配列)

hst/gkvp_f0.47.eng.(ラン数3桁)

- ファイル形式: アスキー
- 出力間隔: dtout_eng
- 出力を行うMPIランク: rankg == 0
- 総ファイル数: (総ラン数)
- GKVコード中の出力ユニット: oeng
- 格納データ:

time, $\sum_{k_x, k_y} \langle |\tilde{\phi}_k|^2 \rangle, \sum_{k_x} \langle |\tilde{\phi}_k|^2 \rangle$ (0: global_ny)

ここで、

time: 時刻(実数)

$\sum_{k_x, k_y} \langle |\tilde{\phi}_k|^2 \rangle$: 揺動静電ポテンシャル二乗振幅(実数)

$\sum_{k_x} \langle |\tilde{\phi}_k|^2 \rangle$: 揺動静電ポテンシャル二乗振幅のy方向波数スペクトル(実数配列)

hst/gkvp_f0.47.men.(ラン数3桁)

- ファイル形式: アスキー
- 出力間隔: dtout_eng
- 出力を行うMPIランク: rankg == 0
- 総ファイル数: (総ラン数)
- GKVコード中の出力ユニット: omen
- 格納データ:

time, $\sum_{k_x, k_y} \langle |\tilde{A}_{\parallel k}|^2 \rangle$, $\sum_{k_x} \langle |\tilde{A}_{\parallel k}|^2 \rangle$ (0: global_ny)

ここで、

time: 時刻(実数)

$\sum_{k_x, k_y} \langle |\tilde{A}_{\parallel k}|^2 \rangle$: 揺動ベクトルポテンシャル二乗振幅(実数)

$\sum_{k_x} \langle |\tilde{A}_{\parallel k}|^2 \rangle$: 揺動ベクトルポテンシャル二乗振幅のy方向波数スペクトル(実数配列)

hst/gkvp_f0.47.dtc.(ラン数3桁)

- ファイル形式: アスキー
- 出力間隔: dtout_eng
- 出力を行うMPIランク: rankg == 0
- 総ファイル数: (総ラン数)
- GKVコード中の出力ユニット: odtc
- 格納データ:
time, dt, dt_limit, dt_nl

ここで、

time: 時刻(実数)

dt: 時間刻み幅(実数)

dt_limit: 時間刻み幅の見積もり(実数)

dt_nl: 非線形移流速度から算出した数値安定な時間刻み幅の見積もり(実数)

hst/gkvp_f0.47.mtr.(ラン数3桁)

- ファイル形式: アスキー
- 出力間隔: ランの開始時
- 出力を行うMPIランク: `rankg == 0`
- 総ファイル数: (総ラン数)
- GKVコード中の出力ユニット: `omtr`
- 格納データ:

$$z, \theta(\text{または}\varphi), B, \frac{\partial B}{\partial x}, \frac{\partial B}{\partial y}, \frac{\partial B}{\partial z}, g^{xx}, g^{xy}, g^{xz}, g^{yy}, g^{yz}, g^{zz}, \sqrt{g}$$

ここで、データはすべて実数で、左から順に

磁力線方向座標、ポロイダル角(ただし`equib_type == vmec`の時はトロイダル角)、
磁場強度、磁場強度の微分3つ、メトリックテンソルの要素6つ、Jacobian。

hst/gkvp_f0.47.frq.(ラン数3桁)

- ファイル形式: アスキー
- 出力間隔: dtout_eng (calc_type == linear .or. calc_type == lin_freq)
- 出力を行うMPIランク: rankg == 0
- 総ファイル数: (総ラン数)
- GKVコード中の出力ユニット: ofrq
- 格納データ:
time, omega(1:global_ny)

ここで、

time: 時刻(実数)

omega: 線形複素周波数(複素数)[=(実周波数, 成長率)]のy方向波数スペクトル

hst/gkvp_f0.47.dsp.(ラン数3桁)

- ファイル形式: アスキー
- 出力間隔: ランの終了時 (`calc_type == linear` .or. `calc_type == lin_freq`)
- 出力を行うMPIランク: `rankg == 0`
- 総ファイル数: (総ラン数)
- GKVコード中の出力ユニット: `odsp`
- 格納データ:
 `ky, omega, diff, 1-ineq`

ここで、

`ky`: y方向波数(実数)

`omega`: 線形複素周波数(複素数)[=(実周波数, 成長率)]

`diff`: 収束の相対誤差[$\frac{\omega(t) - \omega(t-dt)}{\omega(t)}$] (複素数)

`1-ineq`: Schwartzの不等式で評価した収束誤差(実数)

log/gkvp_f0.47.(MPIランク6桁).(粒子種1桁).log.(ラン数3桁)

- ファイル形式: アスキー
- 出力間隔: 随時
- 出力を行うMPIランク: すべて
- 総ファイル数: $nprocw * nprocz * nprocv * nprocm * nprocs * (\text{総ラン数})$
- GKVコード中の出力ユニット: olog
- 格納データ:
 - シミュレーションに関するログ

Appendix B. ポスト処理プログラムdiag におけるバイナリデータの読み込み

diag_rbモジュールを利用してバイナリデータを読み込む

ポスト処理プログラムdiag中でGKV出力バイナリデータを読み込むには、diag_rbモジュールで用意されているサブルーチンをcallする。

```
例) use diag_rb, only : rb_phi_loop  
    complex(kind=DP) :: phi(-nx:nx,0:global_ny,-global_nz:global_nz-1)  
    integer :: loop = 100  
    call rb_phi_loop(loop, phi)
```

※出力レコード loop = 100 番目の静電ポテンシャルphiを読み込む。

※phiの場合は time = dtout_ptn * loop の時刻のデータに相当。

以下、diag_rbの構造と、主要なサブルーチンについて一覧を示す。

v29diag/src/diag_rb.f90の構造

```
MODULE diag_rb
```

```
  public
```

```
  integer, dimension(1:enum) :: loop_phi_sta, loop_phi_end
```

※phiのバイナリデータのレコード数を
格納しておく変数

```
CONTAINS
```

```
SUBROUTINE rb_phi_gettime( loop, time )
```

※レコード数に対応するtimeを
読み込むサブルーチン

```
  ...
```

```
END SUBROUTINE rb_phi_gettime
```

```
SUBROUTINE rb_phi_loop( loop, phi )
```

※レコード数に対応するphiを
読み込むサブルーチン

```
  ...
```

```
END SUBROUTINE rb_phi_loop
```

```
...
```

```
END MODULE
```


バイナリデータのレコード数

integer, dimension(1:enum) :: loop_phi_sta, loop_phi_end



loop_phi_sta(001)
...
Loop_phi_end(001)



Loop_phi_sta(002)
...
Loop_phi_end(002)



Loop_phi_sta(003)
...
...

バイナリデータのサイズから各ランにおけるレコード数を算出できる。

全レコード数は loop_phi_sta(001) から loop_phi_end(enum) まで。

※ラン数 snum から enum までしか解析しないとしても、データはラン数 001 から置いておく必要あり。

rb_phi_gettime(loop, time)

【引数の型、入出力】

integer, intent(in) :: loop

real(kind=DP), intent(out) :: time

【役割】

静電ポテンシャルのバイナリデータ

phi/gkvp_f0.47_(MPIランク6桁).0.phi.(ラン数3桁)

について、

レコード数 loop の時刻に対応する時刻を time に読み込む。

rb_AI_gettime(loop, time)

【引数の型、入出力】

integer, intent(in) :: loop

real(kind=DP), intent(out) :: time

【役割】

ベクトルポテンシャルのバイナリデータ

phi/gkvp_f0.47_(MPIランク6桁).0.AI.(ラン数3桁)

について、

レコード数 loop の時刻に対応する時刻を time に読み込む。

rb_mom_gettime(loop, time)

【引数の型、入出力】

integer, intent(in) :: loop

real(kind=DP), intent(out) :: time

【役割】

流体モーメントのバイナリデータ

phi/gkvp_f0.47_(MPIランク6桁).(粒子種1桁).mom.(ラン数3桁)
について、

レコード数 loop の時刻に対応する時刻を time に読み込む。

rb_trn_gettime(loop, time)

【引数の型、入出力】

integer, intent(in) :: loop

real(kind=DP), intent(out) :: time

【役割】

エントロピーバランスに関する諸量のバイナリデータ

phi/gkvp_f0.47_(MPIランク6桁).(粒子種1桁).trn.(ラン数3桁)
について、

レコード数 loop の時刻に対応する時刻を time に読み込む。

rb_phi_loop(loop, phi)

【引数の型、入出力】

integer, intent(in) :: loop

complex(kind=DP), dimension(-nx:nx,0:global_ny,-global_nz:global_nz-1), intent(out) :: phi

【役割】

静電ポテンシャルのバイナリデータ

phi/gkvp_f0.47_(MPIランク6桁).0.phi.(ラン数3桁)

について、

レコード数 loop の時刻に対応する静電ポテンシャルを phi に読み込む。

rb_AI_loop(loop, AI)

【引数の型、入出力】

integer, intent(in) :: loop

complex(kind=DP), dimension(-nx:nx,0:global_ny,-global_nz:global_nz-1), intent(out) :: AI

【役割】

ベクトルポテンシャルのバイナリデータ

phi/gkvp_f0.47_(MPIランク6桁).0.AI.(ラン数3桁)

について、

レコード数 loop の時刻に対応するベクトルポテンシャルを AI に読み込む。

rb_mom_imomisloop(imom, is, loop, mom)

【引数の型、入出力】

integer, intent(in) :: imom, is, loop

complex(kind=DP), dimension(-nx:nx,0:global_ny,-global_nz:global_nz-1), intent(out) :: mom

【役割】

流体モーメントのバイナリデータ

phi/gkvp_f0.47_(MPIランク6桁).(粒子種1桁).mom.(ラン数3桁)
について、

レコード数 loop の時刻に対応する流体モーメントを mom に読み込む。

ここで、isは粒子種番号で、imom=0~5はそれぞれ順に以下の流体モーメントに対応する。

$$\tilde{n}_{sk} = \int dv^3 J_{0sk} \tilde{f}_{sk}, \quad \tilde{u}_{\parallel sk} = \int dv^3 v_{\parallel} J_{0sk} \tilde{f}_{sk}, \quad \tilde{p}_{\parallel sk} = \int dv^3 \frac{v_{\parallel}^2}{2} J_{0sk} \tilde{f}_{sk},$$

$$\tilde{p}_{\perp sk} = \int dv^3 \mu B J_{0sk} \tilde{f}_{sk}, \quad \tilde{q}_{\parallel\parallel sk} = \int dv^3 v_{\parallel} \frac{v_{\parallel}^2}{2} J_{0sk} \tilde{f}_{sk}, \quad \tilde{q}_{\parallel\perp sk} = \int dv^3 v_{\parallel} \mu B J_{0sk} \tilde{f}_{sk}$$

rb_trn_itrnisloop(itrn, is, loop, mom)

【引数の型、入出力】

integer, intent(in) :: itrn, is, loop

complex(kind=DP), dimension(-nx:nx,0:global_ny), intent(out) :: trn

【役割】

エントロピーバランスに関する諸量のバイナリデータ

phi/gkvp_f0.47_(MPIランク6桁).(粒子種1桁).trn.(ラン数3桁)

について、

レコード数 `loop` の時刻に対応するエントロピーバランスに関する諸量を `trn` に読み込む。

ここで、`is`は粒子種番号で、`itrn=0~11`はそれぞれ順に、

ジャイロ中心揺動エントロピー、静電揺動エネルギー（イオン分極項含む）、磁場揺動エネルギー、波粒子相互作用 ($W_E \rightarrow S_s$)、波粒子相互作用 ($W_M \rightarrow S_s$)、 $E \times B$ 流による非線形エントロピー伝達、磁場揺動による非線形エントロピー伝達、衝突散逸、 $E \times B$ 流による粒子輸送フラックス、磁場揺動による粒子輸送フラックス、 $E \times B$ 流によるエネルギー輸送フラックス、磁場揺動によるエネルギー輸送フラックス。

※繰り返しになるが、`itrn=8,9,10,11`が粒子・熱輸送束の波数空間スペクトルに対応。